

### Võrgumeetodi järg.

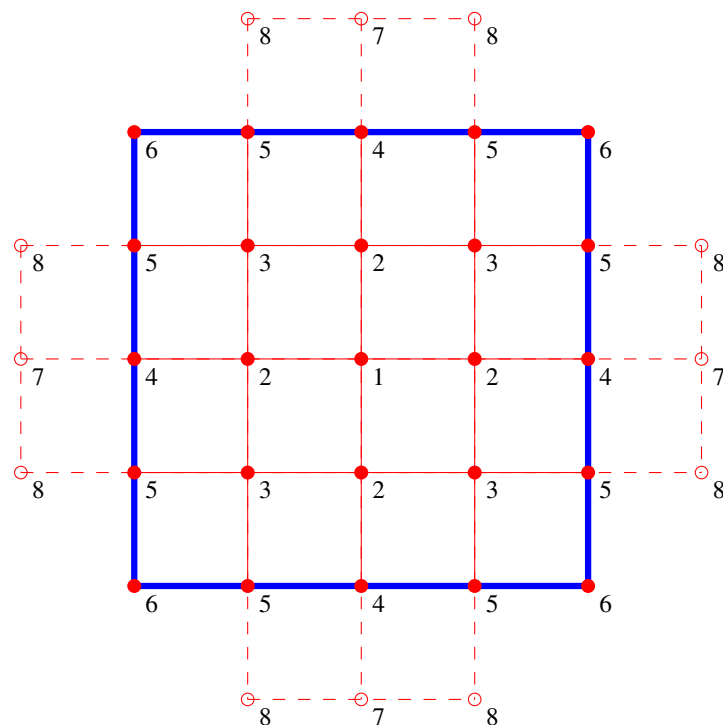
**Näide.** Ruutplaadile servapikkusega  $a$  mõjub ühtlaselt jaotunud koormus inensiivsusega  $p_o$ .

Leida plaadi plaadi keskpinna siirded avapunktides ja paindemomentide väärtsused plaadi keskel ning servade keskpunktis kahel juhul: 1) kui kõik plaadi servad on jäigalt kinnitatud; 2) kui kõik plaadi servad on vabalt toetatud.

Katame plaadi pinna võrguga, mille samm  $\Delta_x = \Delta_y = \Delta = a/4$  (joonis 6.1). Sümmeetria tõttu peame vaatlema vaid kolme sisepunkti ja kirjutama nende jaoks lahti biharpoonilise võrrandi, kasutades eeltoodud graafilist operaatorit  $B$ .

Kui rajatingimusi ei arvesta, on tulemuseks kolmest võrrandist koosnev kaheksa tundmatuga võrrandisüsteem

$$\begin{cases} 20W_1 - 32W_2 + 8W_3 + 4W_4 + 0W_5 + 0W_6 + 0W_7 + 0W_8 = p_o\Delta^4, \\ -8W_1 + 25W_2 - 16W_3 - 8W_4 + 6W_5 + 0W_6 + 1W_7 + 0W_8 = p_o\Delta^4, \\ 2W_1 - 16W_2 + 22W_3 + 4W_4 - 16W_5 + 2W_6 + 0W_7 + 2W_8 = p_o\Delta^4. \end{cases} \quad (6.77)$$



Joonis 6.1:

Mõlema rajatingimuse korral on siirded servapunktides nullid, st.  $W_4 = W_5 = w_6 = 0$  ja tundmatute arv väheneb kolme võrra.

*Jäiga kinnituse* korral saame lisaks tingimused  $W_7 = W_2$  ja  $W_8 = W_3$  ning võrrandisüsteem (6.77) saab kuju

$$\begin{cases} 20W_1 - 32W_2 + 8W_3 = p_o\Delta^4, \\ -8W_1 + 26W_2 - 16W_3 = p_o\Delta^4, \\ 2W_1 - 16W_2 + 24W_3 = p_o\Delta^4. \end{cases} \quad (6.78)$$

Selle lahend on

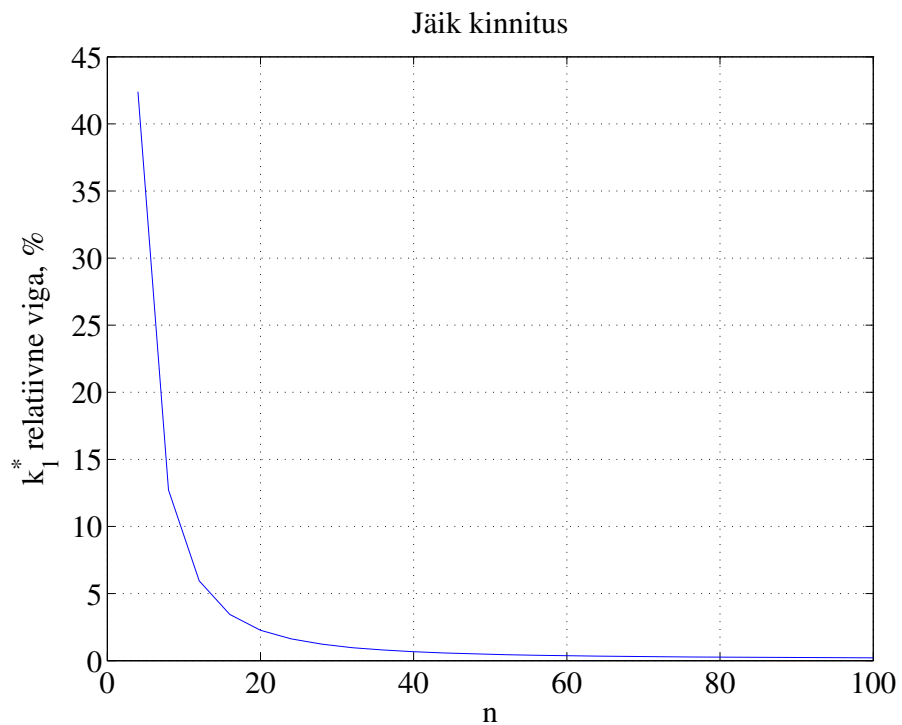
$$W_1 = 0,4607p_o\Delta^4, \quad W_2 = 0,3090p_o\Delta^4, \quad W_3 = 0,2093p_o\Delta^4. \quad (6.79)$$

Paindemomendid ( $\nu = 0.3$ ) ‡

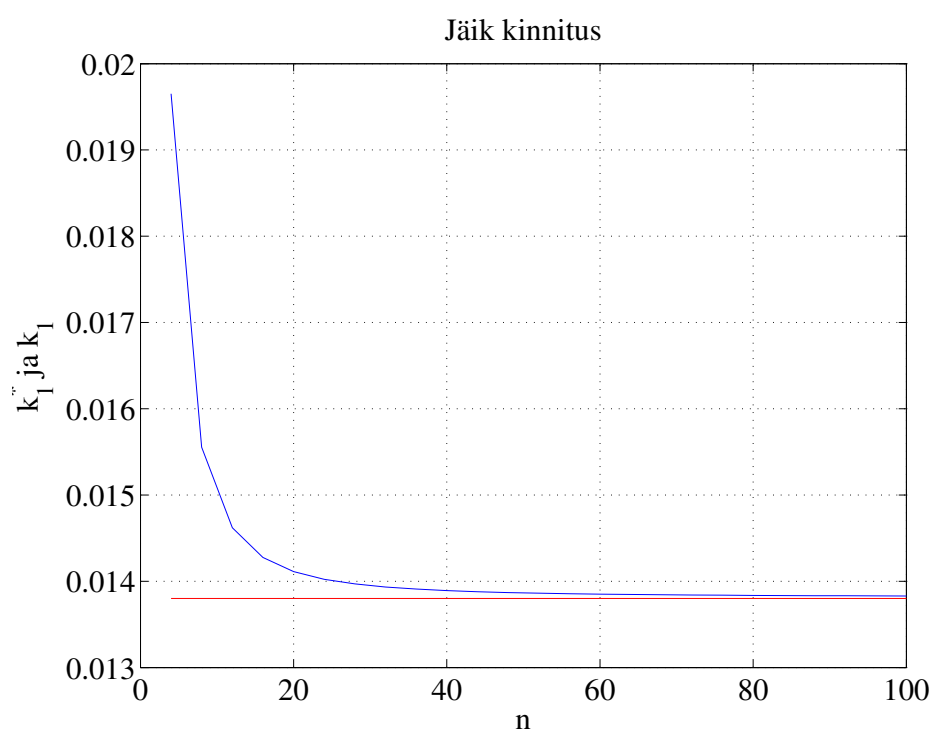
$$\begin{cases} M_1 = (2,6W_1 - 2W_2 - 0,6W_3)/\Delta^2 = 0,3944p_o\Delta^2 = 0,0246p_o a^2 \\ M_4 = -2W_2/\Delta^2 = -0,6180p_o\Delta^2 = -0,0386p_o a^2 \end{cases} \quad (6.80)$$

Et võrrelda saadud siirde  $W_1$  väärust tabelites antud konstandiga  $k_1$  tuleb  $W_1$  jagada suurusega  $n^4/[12(1 - \nu^2)]$ . Tulemuseks on  $k_1^* = 0.0197$ , mis erineb

tabelist saadud väärustusest  $k_1 = 0,0138$ . Et saavutada suuremat kooskõla, tuleb suurendada võrgupunktide arvu. Näiteks  $n = 12$  korral saame  $k_1^* = 0.0146$  ja  $n = 24$  korral saame  $k_1^* = 0.0140$  (vt. joonist 6.2 kus on esitatud vastav relatiivne viga sõltuvana võrgupunktide arvust ja joonist 6.3 kus on esitatud  $k_1^*$  sõltuvana võrgupunktide arvust). Paindemomentide korral pole sellist ümberarvutamist vaja teha. Võrgupunktide arvule  $n = 4$  vastavad  $k_2^* = 0,0246$  ja  $k_4^* = 0,0386$ , tabelis  $k_2 = 0,0231$  ja  $k_4^* = 0,0,0513$ . Väärusele  $n = 12$  vastavad  $k_2^* = 0,0232$  ja  $k_4^* = 0,0495$  ning  $n = 24$  vastavad  $k_2^* = 0,0230$  ja  $k_4^* = 0,0509$ .



Joonis 6.2:



Joonis 6.3:

*Vaba toetuse* korral saame lisaks rajatingimused  $W_7 = -W_2$  ja  $W_8 = -W_3$  ning võrrandisüsteem (6.77) saab kuju

$$\begin{cases} 20W_1 - 32W_2 + 8W_3 = p_o\Delta^4, \\ -8W_1 + 24W_2 - 16W_3 = p_o\Delta^4, \\ 2W_1 - 16W_2 + 20W_3 = p_o\Delta^4. \end{cases} \quad (6.81)$$

Selle lahend on

$$W_1 = 1,0313p_o\Delta^4, \quad W_2 = 0,7500p_o\Delta^4, \quad W_3 = 0,5469p_o\Delta^4. \quad (6.82)$$

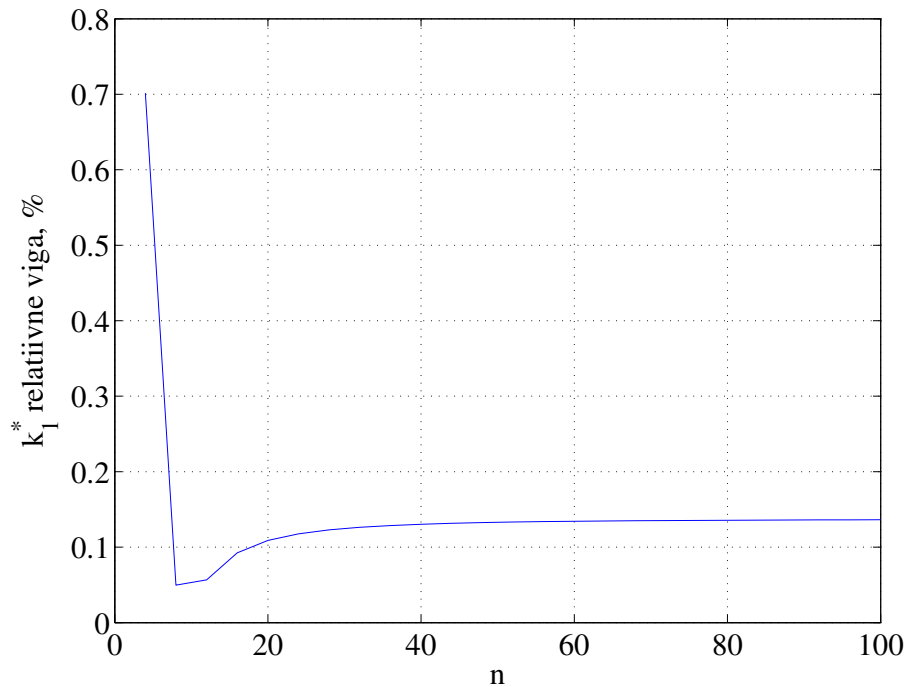
Paindemomendid ( $\nu = 0.3$ )

$$\begin{cases} M_1 = (2,6W_1 - 2W_2 - 0,6W_2)/\Delta^2 = 0,7312p_o\Delta^2 = 0,0457p_o\Delta^2, \\ M_4 = -2W_2/\Delta^2 = 0. \end{cases} \quad (6.83)$$

Et võrrelda saadud siirde  $W_1$  väärust tabelites antud konstandiga  $k_1$  tuleb  $W_1$  jällegi jagada suurusega  $n^4/[12(1 - \nu^2)]$ . Tulemuseks on  $k_1^* = 0.0440$ , mis erineb tabelist saadud väärusest  $k_1 = 0,0443$  tunduvalt vähem kui jäигa

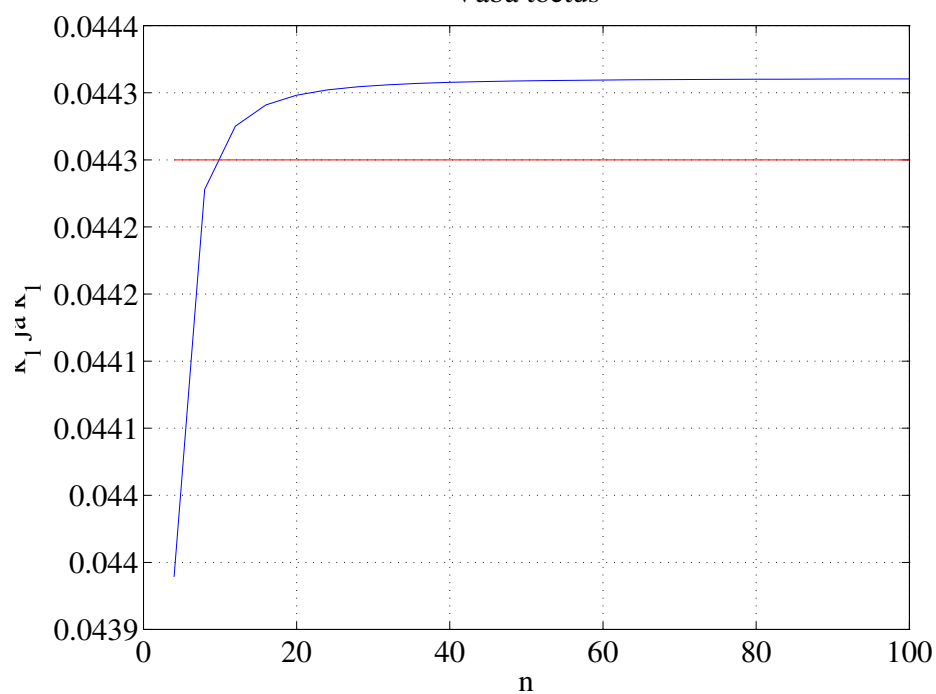
kinnituse lahend (vt. joonist 6.4 kus on esitatud vastav relatiivne viga sõltuvana võrgupunktide arvust ja joonist 6.5 kus on esitatud  $k_1^*$  sõltuvana võrgupunktide arvust). Ka paindemomentide väärused on antud juhul paremas kooskõlas tabelis antutega. Tabelis  $k_2 = 0,0479$ , ja  $n = 4, 12, 24$  vastavad  $k_2^* = 0,0457; 0,0476; 0,0478$ .

## Vaba toetus



Joonis 6.4:

## Vaba toetus



Joonis 6.5: